

Triple Points and Knot Cobordism

大阪市大理 杉下幸司 (Kouji Sugishita)

大阪市大理 村上育 (Hitoshi Murakami)

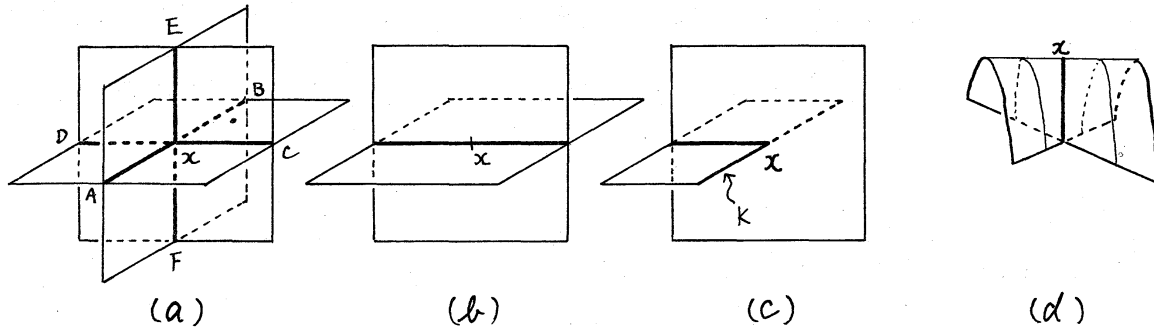
3次元 Euclid 空間内の結び目に singular disk を張り、その singularity を調べる：これにより T-genus と呼ばれる結び目不变量を導入し、その性質をいくつか述べる。証明は、概略に留めたが、図を多く用いて直観的にわかるようにしたつもりである。なお、fission, fusion などの用語については [5], [6] を参照されたい。

§1 Preliminaries

1.1 定義 2-disk D^* から 3次元 Euclid 空間 \mathbb{R}^3 への P.L. 写像 $f \in \partial D^*$ (D^* の境界) への制限が一対一となるものを考える。
 $K = f(\partial D^*)$ とおくとき、 $D = f(D^*)$ を、結び目 K の張る singular disk という。 D の集合 $\Sigma = \{x \in D \mid \#(f^{-1}(x)) \geq 2\}$ を singular disk D の singularity という。

1.2 定義 結び目 K の張る singular disk D で、その singularity

Σ の閉包の各点 x の \mathbb{R}^3 での近傍が、次の図に示したいずれかになつていいものを normal singular disk という。



また、(a)の点 x のように、原像が 3 点からなつていいものを、triple point、(d)の点 x のように、 $x \in \Sigma$ であるが $x \in \partial\Sigma$ (Σ の閉包) となるものを、branch point という。

注意 (a), (b), (d) の場合、 $x \in f(\text{Int } D^*)$ 、(c) の場合、 $x \in f(2D^*) \cap f(\text{Int } D^*)$ である。ここで $\text{Int } D^*$ は D^* の内部である。

normal singular disk の singularity を次のように曲線の集まりとみなす。まず、singularity から triple point を除き、連結成分に分ける。それらを triple point の近傍で、上図 (a) の \overline{AB} , \overline{CD} , \overline{EF} のようにつなぎ直すことでより、(一般には、自分自身と交わる) 曲線に分けることができる。これらを double line と呼ぶ。

double line を、その原像の性質によつて次のように分類する。
(次ページの図参照)

(i) loop singularity : 原像が 2 本の loop となるもの

(ii) clasp singularity: 原像が 2 本の arc で、どちらも一端が境界に、一端が内部にあるもの

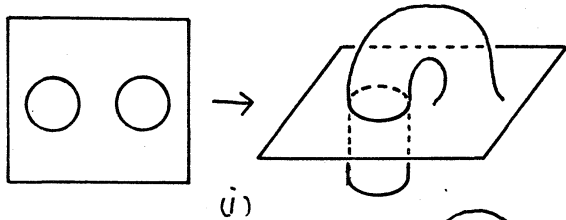
(iii) ribbon singularity: 原像が 2 本の arc で、片方はすべて内部に含まれ、もう一方は両端が境界にあるもの

(iv) branch singularity with one branch point

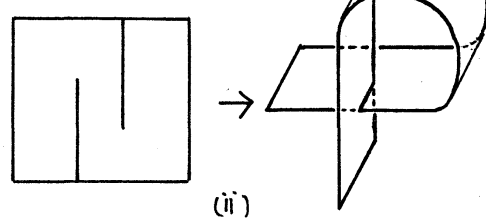
: 原像の閉包が一つの branch point を共有するもの

(v) branch singularity with two branch points

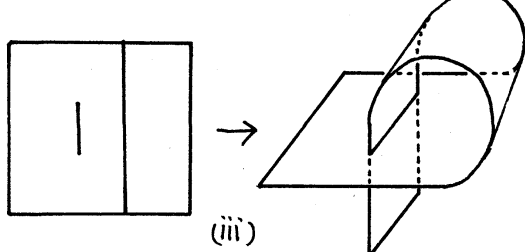
: 原像の閉包が二つの branch point を共有するもの



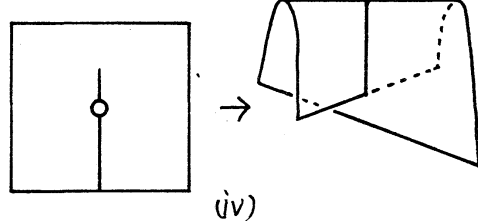
(i)



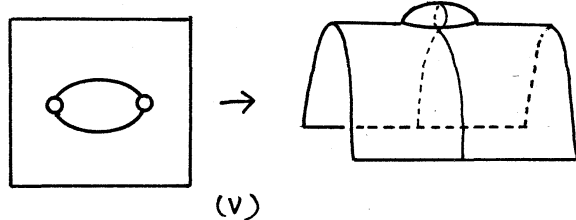
(ii)



(iii)



(iv)



(v)

(iv), (v) の白丸は branch point
である。

注意 上の図では描いてないが、double line は一般には、

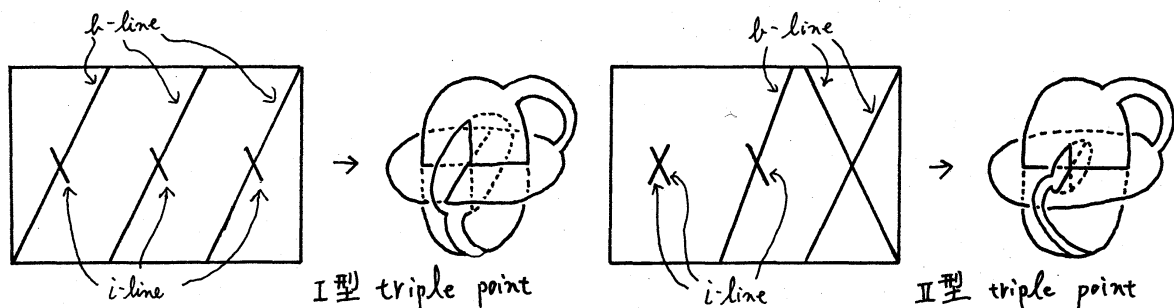
自分自身と交わる。自分自身と交わらない場合、特に simple と呼ぶ。

double line の原像は、2本の arc または loop になるが、それらに名前をつける：とくに可。ribbon singularity と branch singularity with one branch point のときは、端 (ribbon のときは両端) が境界 (boundary) にある方の arc を b-line, 他 (つまり内点 (inner point) となる方) を i-line と名付ける。それ以外の double line の原像は、どうもそれを b-line, 他を i-line と名付ける。

triple point の原像は3点からなるが、上のようには double line の原像に名前をついたとき、それら3点は

- (I) b-line \cap i-line, b-line \cap i-line, b-line \cap i-line
- (II) i-line \cap i-line, b-line \cap i-line, b-line \cap b-line

の2種類しかないことが容易にわかる。(I)の場合 I型 triple point, (II)の場合 II型 triple point と呼ぶ。([2], [6])



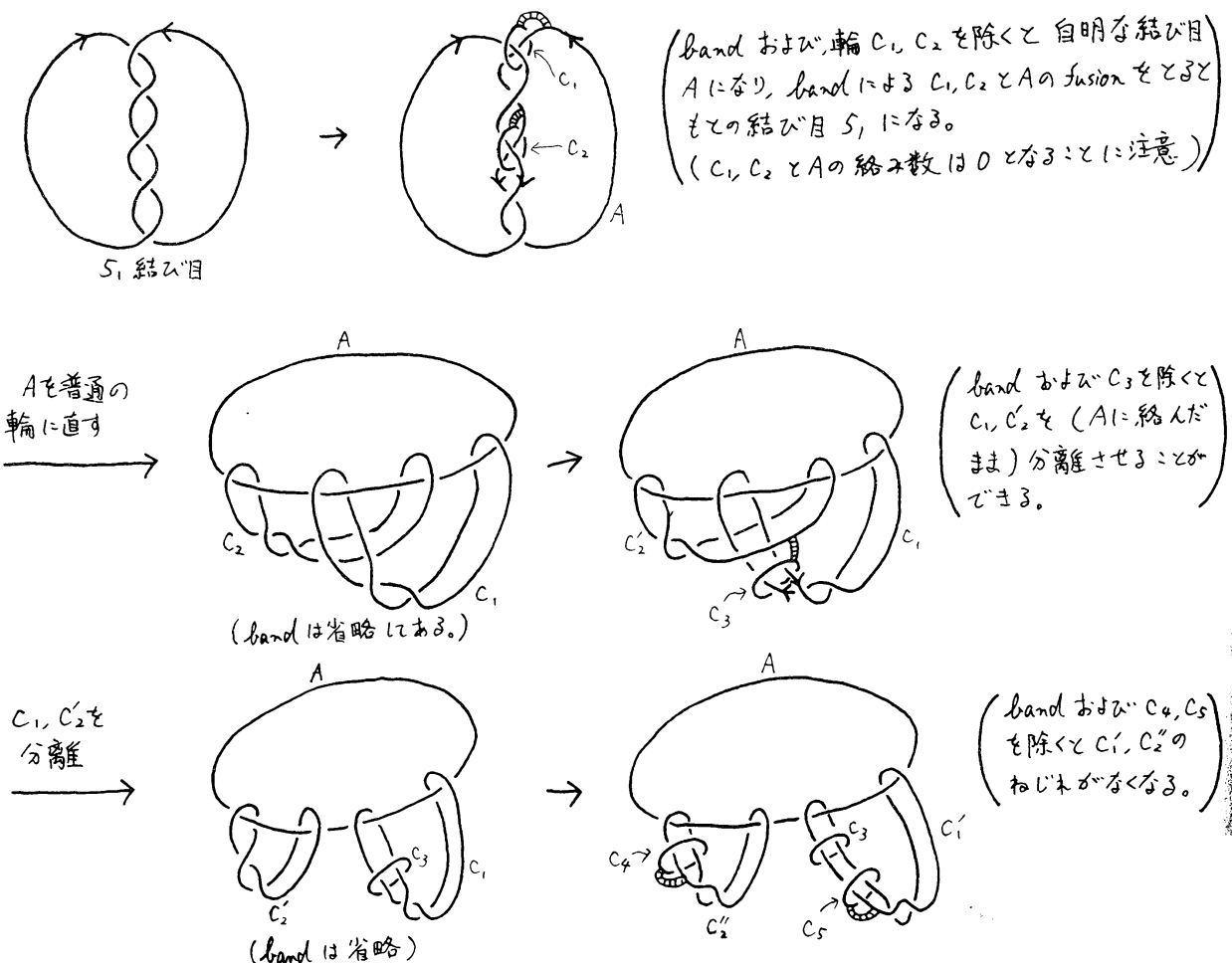
注意 I型, II型は、double line の原像の名付け方によって変わる。

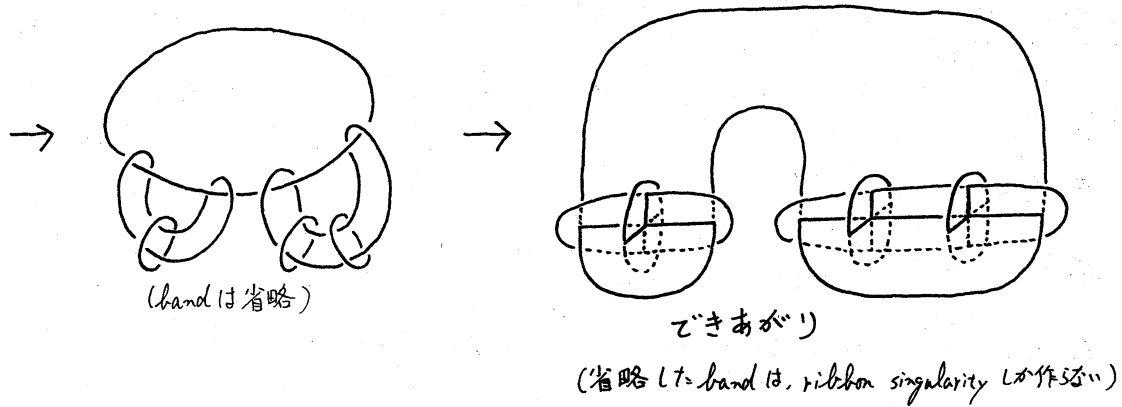
§2 T-genus

[3] により次の事実が知られている。([14] を参照)

2.1 補題 すべての結び目には clasp singularity を持たない normal singular disk を張ることはできる。

証明 次の例を見れば、一般の場合の証明も推察できることである。





補題 2.1 により、次の定義が可能となる。

2.2 定義 結び目 K に clasp singularity を持たない normal singular disk D を張り、double line の原像 (= 2 点) に名前 ρ をつける。このとき、 $T(K, D, \rho)$ で D に含まれる I 型 triple point の数を表す。また、 $T(K)$ で D および ρ を変えたときの $T(K, D, \rho)$ の最小値を表わし、結び目 K の T -genus と呼ぶ。

$T(K)$ および $T(K, D, \rho)$ のもう重要な性質として、次の定理が挙げられる。

2.3 定理 K を結び目とする。このとき

- (1) $T(K)$ は knot-cobordism 不変量である。
- (2) $\mathcal{G}^*(K) \leq T(K)$, : : で $\mathcal{G}^*(K)$ は、 K の slice genus (4-genus) である。
- (3) $T(K, D, \rho) \equiv Arf(K) \pmod{2}$, : : で $Arf(K)$ は、 K の Arf 不変量 ([13]) である。特に、 $T(K) \equiv Arf(K) \pmod{2}$ 。

(1) の証明 結び目 K と K' が cobordant であるとする。[5, Theorem 3.1] により次のよろな fusion, fission による系列(a) が存在する。

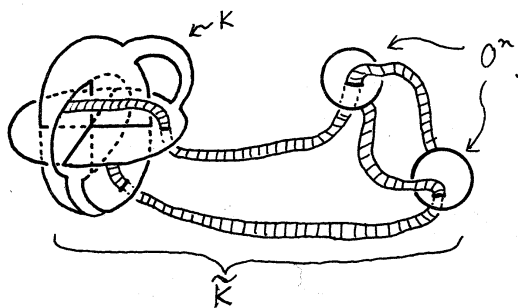
$$(a) \quad K \circ O^n \xrightarrow{\text{fusion}} \tilde{K} \xrightarrow{\text{fission}} K' \circ O^{n'}$$

ただし、 \tilde{K} はある結び目、 \circ は split union, $O^n, O^{n'}$ はそれぞれ n, n' 個の成分をもつ自明な絡み輪である。

$T(K) \geq T(K')$ を示すために、次の 2 つに分けて考える。

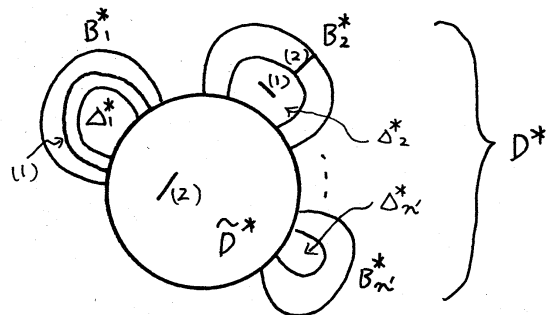
$$(i) \quad T(K) \geq T(\tilde{K}), \quad (ii) \quad T(\tilde{K}) \geq T(K')$$

まず、(i) を示す。 K に I 型 triple point を $T(K)$ 個もつ、 clasp singularity をもつた n 倍の normal singular disk を、 O^n に non-singular disk を張る。これに (a) の fusion に使った band をつけて加え、 band はいくつでも細くできることに注意すれば、 triple point を増やさず \tilde{K} に clasp singularity をもつた n 倍の normal singular disk を張ることはできる。つまり、 $T(\tilde{K}) \leq T(K)$ である。



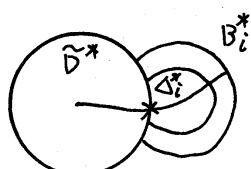
次に、(ii) を示す。 \tilde{K} に I 型 triple point を $T(\tilde{K})$ 個もつ、 clasp singularity をもつた n 倍の normal singular disk \tilde{D} を張り、これに (a) の fission に使った band $B_1, B_2, \dots, B_{n'}$ をつけ加える。これは $K' \circ O^{n'}$

の張る穴あき normal singular disk であり, $O^{n'}$ に対応する部分には non-singular disk $\Delta_1, \Delta_2, \dots, \Delta_{n'}$ を張る γ , K' の張る normal singular disk D となる。 \tilde{D}, B_i, Δ_i ($i=1, 2, \dots, n'$), D の原像をそれぞれ $\tilde{D}^*, B_i^*, \Delta_i^*$, D^* とかく γ , D^* は次の図のようになる。



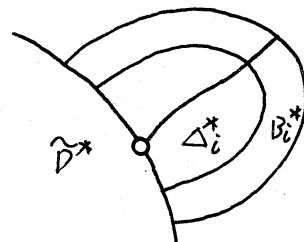
$B_i \cap \Delta_j, B_i \cap \tilde{D}$ ($i, j = 1, 2, \dots, n'$) は simple ribbon singularity, $\Delta_i \cap \tilde{D}$ ($i=1, 2, \dots, n'$) は normal singularity であると仮定できる。(上の図で (1) が $B_i \cap \Delta_j$ の, (2) が $B_i \cap \tilde{D}$ の原像) また band を $2\tilde{D}$ に沿って滑らせる: より, $2\Delta_i$ と $2B_j$ ($i, j = 1, 2, \dots, n'$) は, $\tilde{D}^* (= t)$ からみて singularity とは交わらないようになっている。

D^* は clasp singularity のないことが次のようにな示される。もし, clasp singularity があれば, たとすると, その原像はともに次の図のようになる, てしまう。



これは 3 か, この arc と $2\Delta_i^* \cap 2\tilde{D}^*$ の交点を考えると, 相手(像の一一致する点)がないことわかる。これは矛盾であるから, 結局 D^* には clasp singularity はない。

次に Δ_i^* ($i=1, 2, \dots, n$) を通る double line の原像は b-line と名付けてもよいいことを示す。loop singularity, branch singularity with two branch points の場合, Δ_i^* を通る方を b-line と名付ける。また, 先程と同様の考え方で $\partial\Delta_i^* \cap \partial\tilde{D}^*$ を横断する double line の原像は存在しないことがわかる。double line の原像は Δ_i^* の中に終わるとはない ($\Delta_i \cap K' = \emptyset$ より) ので, Δ_i^* を通る arc は必ず下の図のように ∂B_i^* の方へ伸びることが, 前ページの上の図 (2) からわかる。つまりこの arc は b-line である。

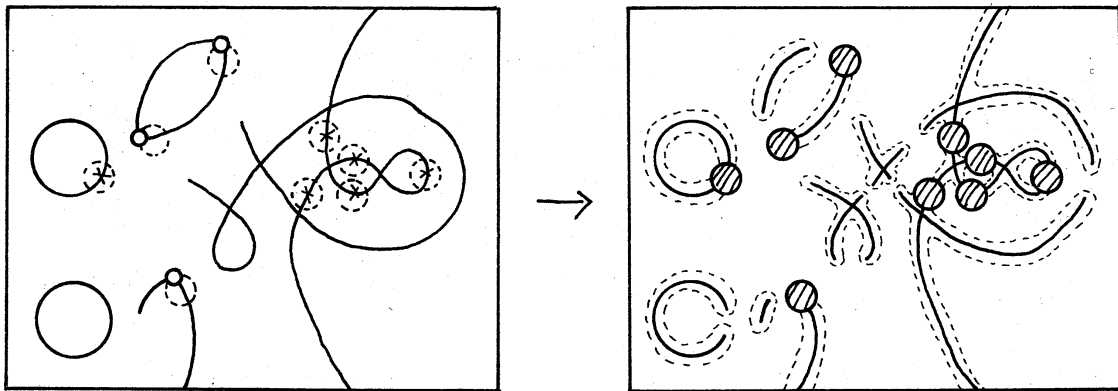


以上のことと, 新しくできた triple point の原像の 1 つは必ずある Δ_i^* ($i=1, 2, \dots, n$) (= 入るなければならぬことから, 増えた triple point はすべて II 型になる。 $(\Delta_i^* \text{ に含まれる triple point の原像は } b\text{-line} \cap b\text{-line})$) つまり D の I 型 triple point の数は変わらないので, $T(K') \leq T(\tilde{K})$ である。

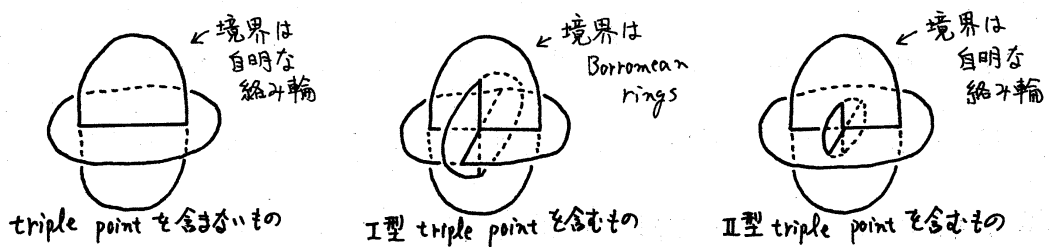
同様に $T(K) \leq T(K')$ を示せるので, $T(K) = T(K')$ となり, T-genus は knot-cobordism 不变量であることがわかる。

(2) の証明 結び目 K の張る clasp singularity を持たない "normal singular disk" E の原像 E^* は次のページのようになる。図のよう

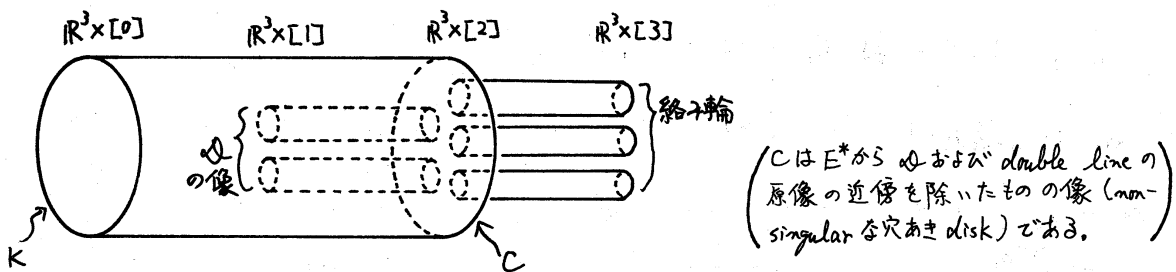
b -line 上の各 triple point の原像の間、triple point を含まない loop singularity の原像の上、branch point の原像の近くから小さな disk D = D_1, D_2, \dots, D_m を除くと、double line の原像の各連結成分は、triple point の原像を高々一個しか含まない。



これらを近傍を上の図の破線で囲、たようにして。それぞれの像は次のようになる。

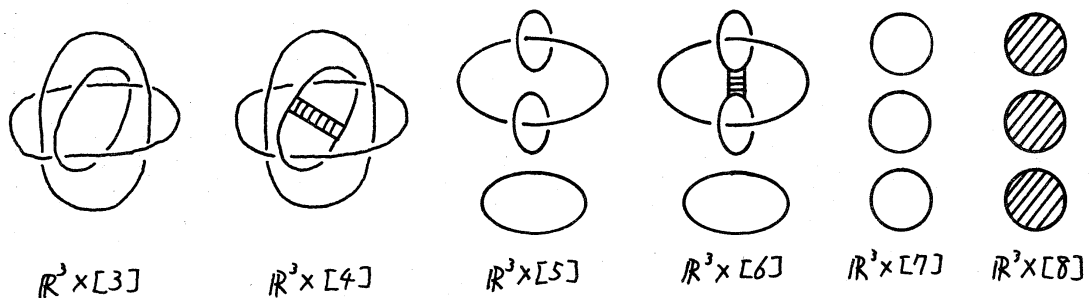


そこで、 K に次のような曲面を張る。

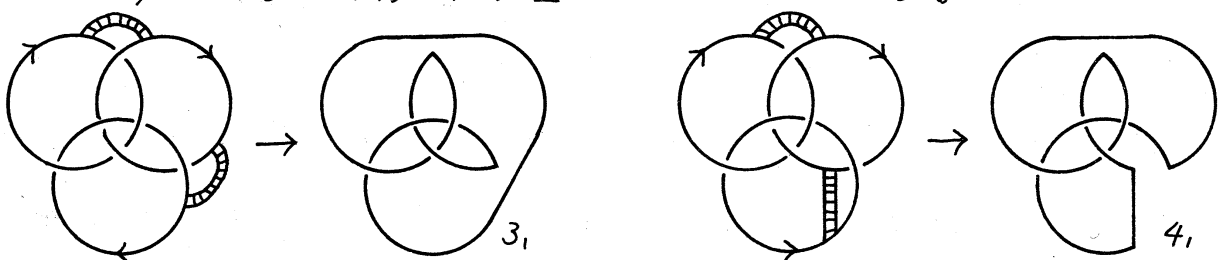


$R^3 \times [3]$ にできる絡み輪は、 $\Gamma(K, E, \rho)$ 個の Borromean rings と自明な絡み輪との split union となる。ただし、 ρ は E^* 上の double

line の原像の名前のつけ方である。次の図でもわかるように、Borromean rings の slice genus は 1 であるから、結局 K には $\mathbb{R}^3 \times [0, +\infty)$ 内で genus が $T(K, E, \rho)$ の曲面が張れるところにある。つまり、 $g^*(K) \leq T(K)$ である。



(3) の証明 $[10]$ により、同じ proper 絡み輪 ($L = \bigcup_{i=1}^n K_i$ と書いたとき、すべての i に対して $\sum_{j \neq i} lk(K_i, K_j) \equiv 0 \pmod{2}$) となる。 \because $lk(K_i, K_j)$ は K_i と K_j の絡み数 (= relate してなる結び目) つまり、 $\mathbb{R}^3 \times [0, 1]$ (= proper に埋め込まれた穴あき disk B が、て、 $\mathbb{R}^3 \times [0] \cap B, \mathbb{R}^3 \times [1] \cap B$ がそれぞれ結び目、proper 絡み輪に在る) の Arf 不変量は一致する。 (2) の証明からわかるように、 K は $T(K, E, \rho)$ 個の Borromean rings (= relate してなる) (E, ρ は (2) の証明に用いたもの) 次の図から、1 つの Borromean rings (= relate してなる結び目として、3, 結び目または 4, 結び目がこれ、これら Arf 不変量はともに 1 である。



Arf 不変量の加法性により, $T(K, E, \rho) \equiv \text{Arf}(K) \pmod{2}$ となる。

結び目 K が slice である: こと, K が自明な結び目と cobordant である: ことは同値であるので, 定理 2.3(1) から

2.4 系 結び目 K が slice である: こと, $T(K) = 0$ である: ことは同値である。

注意 上の系は [6] で述べられてある: この言い換えである。

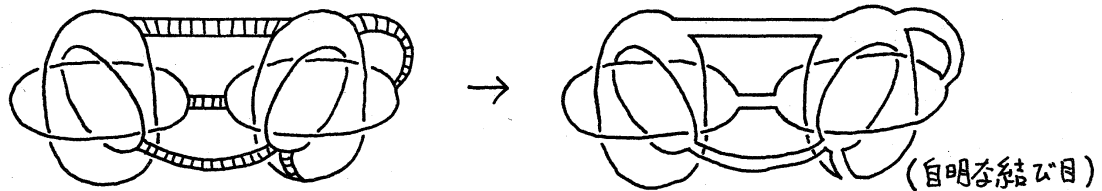
前ページの一一番下の左の図より, $T(3_1) = 1$ である: ことがわかる。そこで 3_1 結び目の n 個の knot sum を $\#3_1$ と書くと, その slice genus が n である: ことから, $T(\#3_1) = n$ となる。つまり

2.5 命題 任意の自然数 n に対して, T -genus が n となる結び目が存在する。

上に述べた例と違って, 3_1 結び目と 3_1 結び目の鏡像の向きを変えたものの $\overline{3_1}$ の knot sum $3_1 \# \overline{3_1}$ を考えると, $T(3_1 \# \overline{3_1}) = 0$ となる。すなわち, 2つの結び目 K_1, K_2 に対して

$T(K_1 \# K_2) \leq T(K_1) + T(K_2)$ とは否しが、一般に等号は成立しないことがわかる。（等号の成立しない他の例については、[7], [8], [14]参照）

また、下の図をみれば、 $\lambda \equiv T(K)$ かつ $n \equiv T(K) \pmod{2}$ となる n に対して、 $T(K, D, P) = n$ となる D や P の存在することができる。



§ 3 $T(K) \geq B(K)$

この節では、 T -genus の達った定義を試みる。

3.1 定義 K を結び目、 R_1, R_2, \dots, R_p を Borromean rings とするとき、それらの split union $K = R_1 \circ R_2 \circ \dots \circ R_p$ が S fusion によって得られる結び目を $K \#_{\mathcal{B}} (R_1 + R_2 + \dots + R_p)$ で表わす。 \mathcal{B} は、fusion に使う band である。

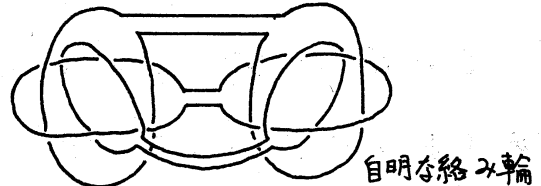
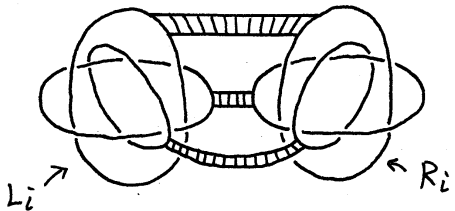
3.2 補題 任意の結び目 K に対し、自然数 n が存在して、 n 個の Borromean rings R_1, R_2, \dots, R_n とある band \mathcal{B} をとると、 $K \#_{\mathcal{B}} (R_1 + R_2 + \dots + R_n)$ は slice 結び目となる。

証明 定理 2.3(2) の証明と, [5, Theorem 3.1] より,

次の系列(a)が存在する。

$$(a) \quad K \circ O^m \xrightarrow{\text{fusion}} K' \xrightarrow{\text{fission}} L_1 \circ L_2 \circ \cdots \circ L_n \circ O^{m'}$$

すなはち $O^m, O^{m'}$ はそれぞれ m, m' 個の成分を持つ自明な絡み輪, L_1, L_2, \dots, L_n は Borromean rings である, $n \geq T(K) \Rightarrow n \leq T(K)$ (mod 2) である。 n 組の Borromean ring R_i ($i=1, 2, \dots, n$) と $L_1 \circ L_2 \circ \cdots \circ L_n \circ O^{m'}$ の split union を考える。次の図のような 3 本の band (= 3 $L_i \circ R_i$ ($i=1, 2, \dots, n$) の fusion) をとる: より, $(L_1 \circ L_2 \circ \cdots \circ L_n \circ O^{m'}) \circ R_1 \circ R_2 \circ \cdots \circ R_n$ は $(3n+m')$ 個の成分を持つ自明な絡み輪になる。



したがって各段階で R_1, R_2, \dots, R_n との fusion をとる: より, 系列(a)は次の系列(b)になる。

$$(b) \quad \widetilde{K} \circ O^m \xrightarrow{\text{fusion}} \widetilde{K}' \xrightarrow{\text{fission}} O^{3n+m'}$$

すなはち $\widetilde{K} = K \#_{\mathcal{B}} (R_1 + R_2 + \cdots + R_n)$, $\widetilde{K}' = K' \#_{\mathcal{B}} (R_1 + R_2 + \cdots + R_n)$ という結び目である。系列(b)は, \widetilde{K} が slice 結び目であることを示してある。

この補題で示されたような, $K \#_{\mathcal{B}} (R_1 + R_2 + \cdots + R_n)$ が slice

結び目となる n の最小値を $B(K)$ と書く。

3.3 定理 K を結び目とするとき, $T(K) = B(K)$ となる。

証明

$B(K)$ の定義と補題 3.2 の証明から $B(K) \leq T(K)$

は明らかであるので $B(K) \geq T(K)$ を示す。

$B(K) = p$, つまりある band \mathcal{B} と p 組の Borromean rings R_i ($i=1, 2, \dots, p$) がある, で $K \#_{\mathcal{B}} (R_1 + R_2 + \dots + R_p)$ が slice 結び目になると仮定する。次の系列 (a) が存在する。

$$(a) \quad K \#_{\mathcal{B}} (R_1 + R_2 + \dots + R_p) \circ O^m \xrightarrow{\text{fusion}} K' \xrightarrow{\text{fission}} O^{m'}$$

この系列 (a) を左側に伸ばすと次の (a') になる。

$$(a') \quad (K \circ R_1 \circ R_2 \circ \dots \circ R_p) \circ O^m \xrightarrow{\text{fusion}} K \#_{\mathcal{B}} (R_1 + R_2 + \dots + R_p) \circ O^m \xrightarrow{\text{fusion}} K'$$

ここで, 左側の fusion は band \mathcal{B} によるもので, K' は (a) からもよろしく ribbon 結び目である。

補題 3.2 の証明の図で示したような band \mathcal{B}' と Borromean rings L_1, L_2, \dots, L_p をとり, 各段階で fusion をとることにより, 系列 (a') は次のような系列 (b) になる。

$$(b) \quad K \circ O^{3p+m} \xrightarrow{\text{fusion}} \widetilde{K} \circ O^m \xrightarrow{\text{fusion}} \widetilde{K}'$$

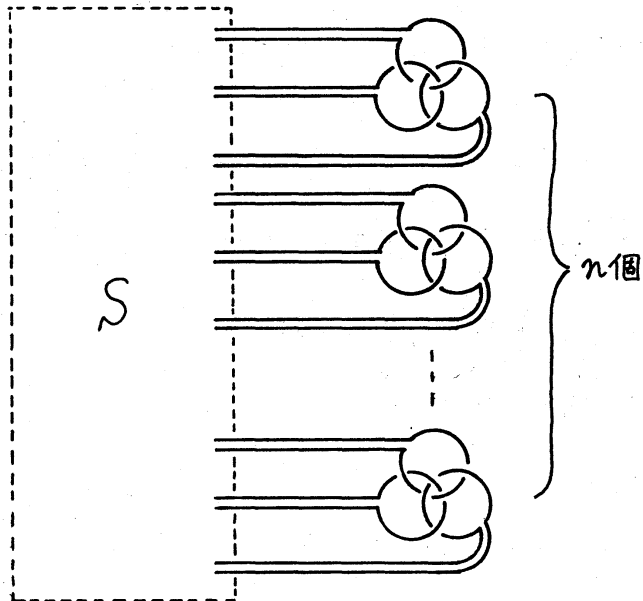
$$\therefore \widetilde{K} = (K \#_{\mathcal{B}} (R_1 + R_2 + \dots + R_p)) \#_{\mathcal{B}'} (L_1 + L_2 + \dots + L_p),$$

$\widetilde{K}' = K' \#_{\mathcal{B}'} (L_1 + L_2 + \dots + L_p)$ という結び目である。 K' が ribbon 結び目であることから, \widetilde{K}' の T -genus は p 以下になる。系列 (b) より K と \widetilde{K} は cobordant だから $T(K) = T(\widetilde{K}') \leq p = B(K)$ となる。

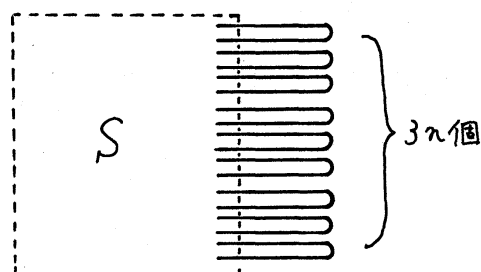
$B(K)$ による T -genus の定義は、 clasp singularity と Hopf link
 ○○ と unknotting operation を関連付ける見方と共通したこと
 があるようだと思われる。([12] 参照)

補題 3.2 の証明から、次のようなくび目分解が可能であることがわかる。

3.4 定理 任意のくび目 K は、次のようには "slice 部分" と
 "Borromean rings 部分" に分けることができる。



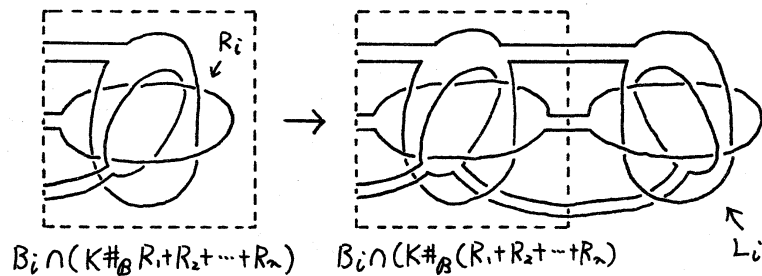
ただし、"Borromean rings 部分" の数 n は、 $n \equiv T(K) \pmod{2}$ となる任意の自然数であり、破線の内部 S は、下の図のようにすると slice くび目となる、3 本の arc からなる tangle である。



証明

補題 3.2 の証明のように、 $K \#_{\mathcal{B}} (R_1 + R_2 + \dots + R_n)$

を slice 結び目にする。 R_i ($i=1, 2, \dots, n$) は Borromean rings である。このとき、 \mathbb{R}^3 の中には 3-ball B_1, B_2, \dots, B_n があり、 $B_i \cap (K \#_{\mathcal{B}} (R_1 + R_2 + \dots + R_n))$ は下図左のようになる、である。 $(i=1, 2, \dots, n)$



これで、Borromean rings L_1, L_2, \dots, L_n を上図右のように fusion する。このときには使う band を \mathcal{B}' とするとき、 $(K \#_{\mathcal{B}} (R_1 + R_2 + \dots + R_n)) \#_{\mathcal{B}'} (L_1 + L_2 + \dots + L_n)$ は K と同じ結び目型になることがわかる。 L_i ($i=1, 2, \dots, n$) に対応する部分が、"Borromean rings 部分" であり、 $(K \#_{\mathcal{B}} (R_1 + R_2 + \dots + R_n))$ に対応する部分が、"slice 部分" である。

T -genus を使って、knot-cobordism 群に距離を導入することができる可能である ($x = [K]$ を knot-cobordism 群の元としたとき、 $T(x) = T(K)$ とき、距離函数 d_T を、 $d_T(x, y) = T(x - y)$ と定める) が、このことをいつつては [4], [14] を、また、 T -genus の結び輪への拡張については [14] をそれぞれ参照された。

付表

交点数が 9 以下の素な結び目の signature, slice genus および T-genus の表である。signature と slice genus は, [9], [13] を参考にした。T-genus を実際にどのように求めたかは, [7] を参照されたい。なお, 不等号はその数以下 (T-genus は mod 2 で等しくなる) ことを意味し, *印は Arf 不変量加工によってある。

	$\frac{1}{2}M_1$	g^*	T		$\frac{1}{2}M_1$	g^*	T		$\frac{1}{2}M_1$	g^*	T		$\frac{1}{2}M_1$	g^*	T		
* 3,	1	1	1		8 ₈	0	0	0	9 ₈	1	1	2	*	9 ₂₉	1	1	
* 4,	0	1	1		8 ₉	0	0	0	9 ₉	3	3	≤ 8	*	9 ₃₀	0	1	
* 5,	2	2	3	*	8 ₁₀	1	1	1	9 ₁₀	2	2	≤ 8		9 ₃₁	1	1	
5 ₂	1	1	2	*	8 ₁₁	1	1	1	9 ₁₁	2	2	≤ 4	*	9 ₃₂	1	1	
6,	0	0	0	*	8 ₁₂	0	1	1	*	9 ₁₂	1	1	1	*	9 ₃₃	0	1
* 6 ₂	1	1	1	*	8 ₁₃	0	1	1	*	9 ₁₃	2	2	≤ 7	*	9 ₃₄	0	1
* 6 ₃	0	1	1		8 ₁₄	1	1	2	*	9 ₁₄	0	1	1	*	9 ₃₅	1	1
7,	3	3	≤ 6		8 ₁₅	2	2	≤ 4	9 ₁₅	1	1	2	*	9 ₃₆	2	2	
* 7 ₂	1	1	≤ 3	*	8 ₁₆	1	1	1	9 ₁₆	3	3	≤ 6	*	9 ₃₇	0	1	
* 7 ₃	2	2	≤ 5	*	8 ₁₇	0	1	1	9 ₁₇	1	1	2		9 ₃₈	2	2	
7 ₄	1	1	≤ 4	*	8 ₁₈	0	1	1	9 ₁₈	2	2	≤ 6		9 ₃₉	1	1	
7 ₅	2	2	≤ 4	*	8 ₁₉	3	3	≤ 5	9 ₁₉	0	1	2	*	9 ₄₀	1	1	
* 7 ₆	1	1	1		8 ₂₀	0	0	0	9 ₂₀	2	2	2		9 ₄₁	0	0	
* 7 ₇	0	1	1		8 ₂₁	1	1	2	*	9 ₂₁	1	1	≤ 3		9 ₄₂	1	1
* 8,	0	1	1		9 ₁	4	4	≤ 10	*	9 ₂₂	1	1	1	*	9 ₄₃	2	2
8 ₂	2	2	2		9 ₂	1	1	≤ 4	*	9 ₂₃	2	2	≤ 5		9 ₄₄	0	1
8 ₃	0	1	2	*	9 ₃	3	3	≤ 9	*	9 ₂₄	0	1	1		9 ₄₅	1	1
* 8 ₄	1	1	1	*	9 ₄	2	2	≤ 7	9 ₂₅	1	1	2		9 ₄₆	0	0	
* 8 ₅	2	2	3		9 ₅	1	1	≤ 6	9 ₂₆	1	1	2	*	9 ₄₇	1	1	
8 ₆	1	1	2	*	9 ₆	3	3	≤ 7	9 ₂₇	0	0	0	*	9 ₄₈	1	≤ 2	
8 ₇	1	1	2	*	9 ₇	2	2	≤ 5	*	9 ₂₈	1	1	1		9 ₄₉	2	2

References

- R. Fox and J. Milnor: Singularities of 2-sphere in 4-space and cobordism of Knots, *Osaka J. Math.*, 3 (1966), 257-267.
- F. Hosokawa and T. Yanagawa: Is every slice knot a ribbon knot? *Osaka J. Math.*, 2 (1965), 373-384.
- S. Kaplan: Constructing framed 4-manifolds with given almost framed boundaries, *Trans. Amer. Math. Soc.*, 254 (1979), 237-263.
- A. Kawauchi, H. Murakami and K. Sugishita: On the T-genus of knot cobordism, to appear.
- A. Kawauchi, T. Shibuya and S. Suzuki: Descriptions on surfaces in four-space I, *Math. Semi. Notes Kobe Univ.*, 10 (1982), 75-124.
- A. Kawauchi, T. Shibuya and S. Suzuki: Descriptions on surfaces in four-space II, to appear.
- H. Murakami: Borromean rings and knot cobordism, Master Thesis, Osaka City Univ. (1983)
- H. Murakami and K. Sugishita: Triple points and knot cobordism, pre-print.
- Y. Nakanishi: A note on unknotting number, *Math. Semi. Notes Kobe Univ.*, 9 (1981), 99-108.
-] R. Robertello: An invariant of knot cobordism, *Comm. Pure Appl. Math.*, 18 (1965), 543-555.
-] D. Rolfsen: KNOTS AND LINKS.
-] T. Shibuya: Some relations among various numerical invariants for links, *Osaka J. Math.*, 11 (1974), 313-322.
-] Y. Shinohara: On the signature of knots and links, Dissertation, Florida State Univ., (1969).
-] K. Sugishita: Triple points and knot cobordism, Master Thesis, Osaka City Univ., (1983).